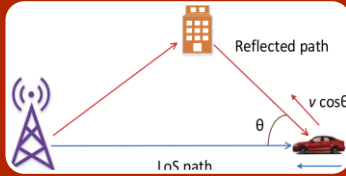


MIMO-OTFS Communication System

Marco Salvatori

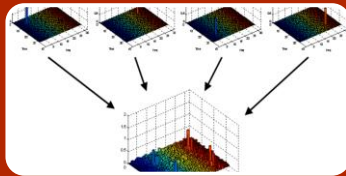
Simone Catenacci



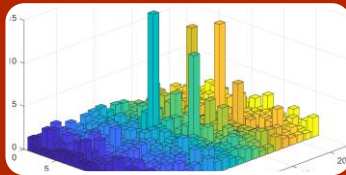
Introduzione alla modulazione OTFS



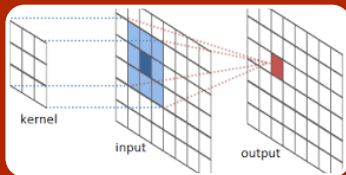
Introduzione alle tecniche MIMO



Sistema MIMO-OTFS

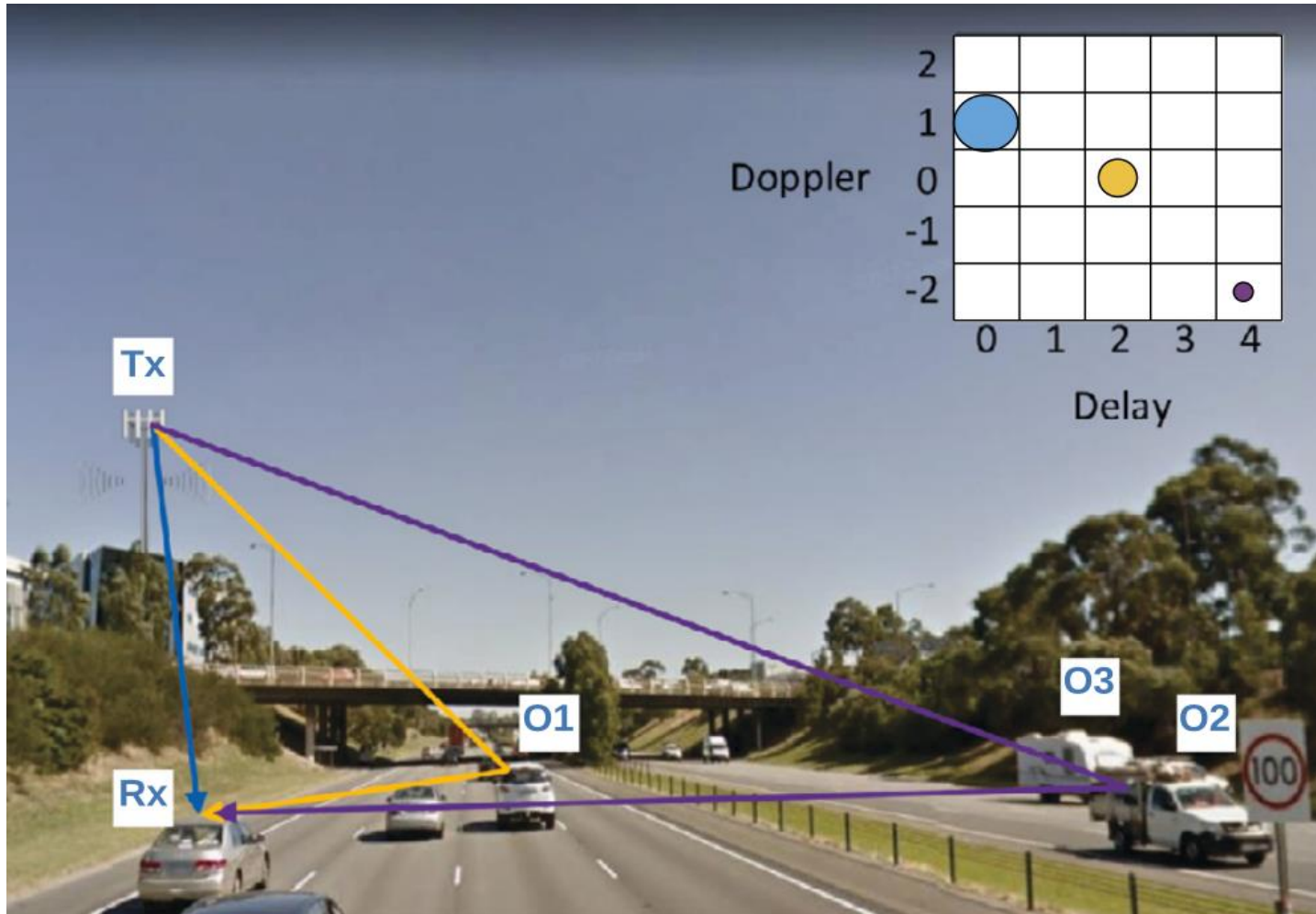


Risultati

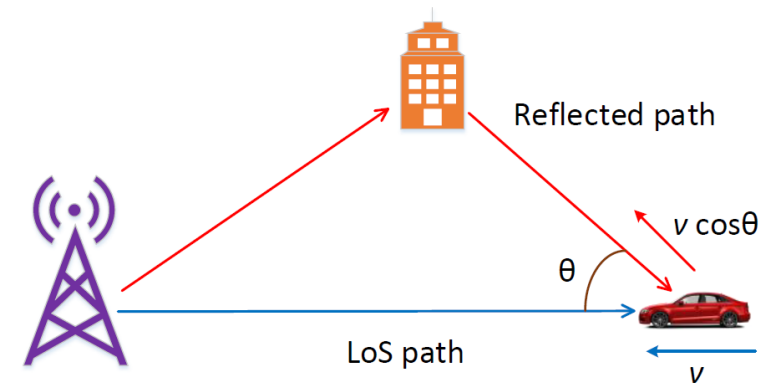


Conclusioni e sviluppi futuri

OTFS: High-mobility wireless channel

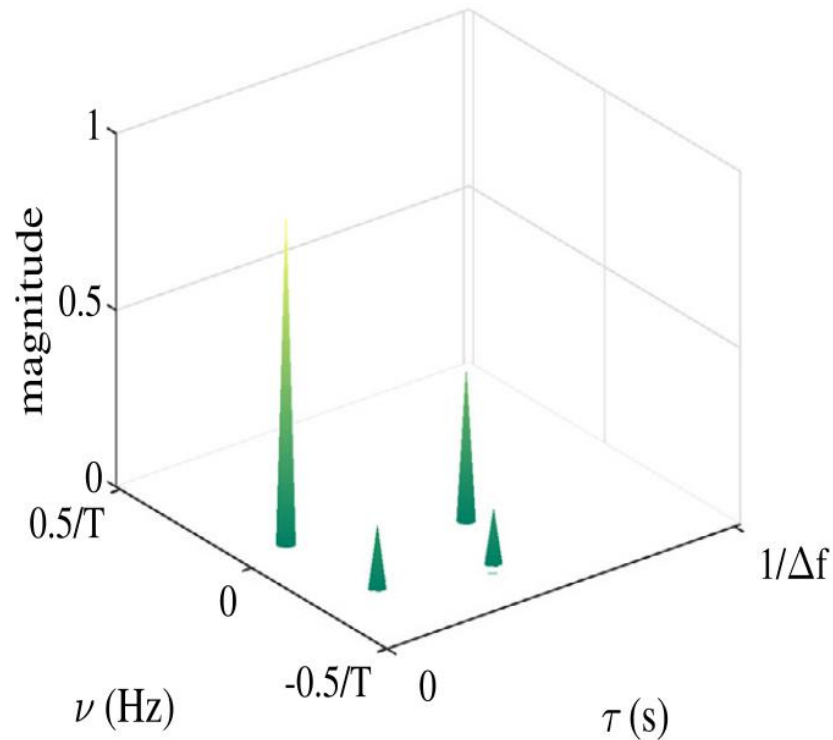


- È un canale dove trasmettitori, ricevitori e vari riflettori, si muovono con velocità e direzioni differenti
- Il problema è che i segnali trasmessi sono afflitti da multipli Doppler shift e ritardi

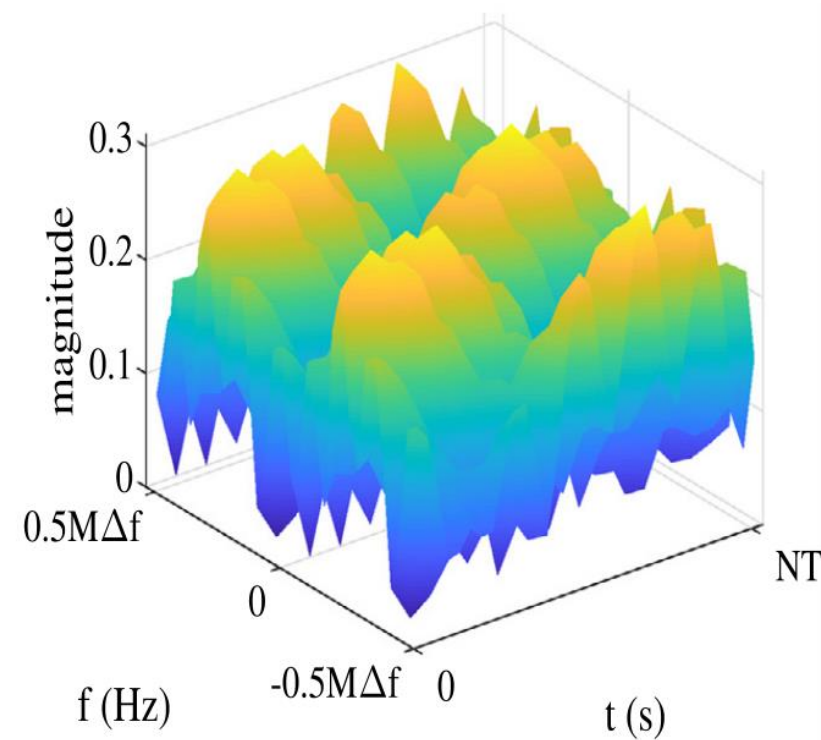


OTFS: Dominio delay-Doppler

In questo contesto, una rappresentazione nel dominio delay-Doppler, assumendo un numero limitato di riflettori nelle vicinanze del ricevitore, permette di avere una rappresentazione compatta del canale fisico.



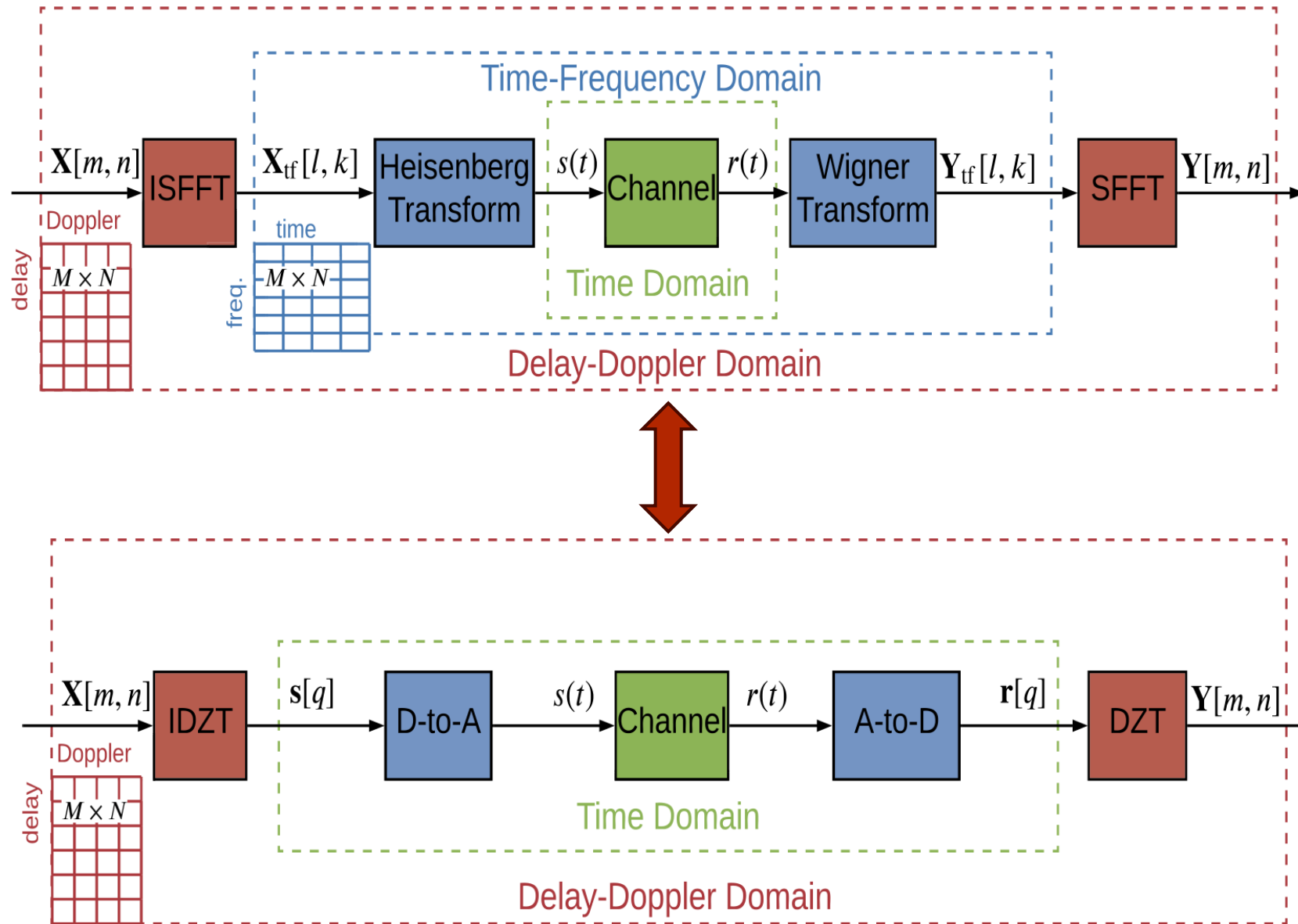
(a) $h(\tau, \nu)$



(b) $H(f, t)$

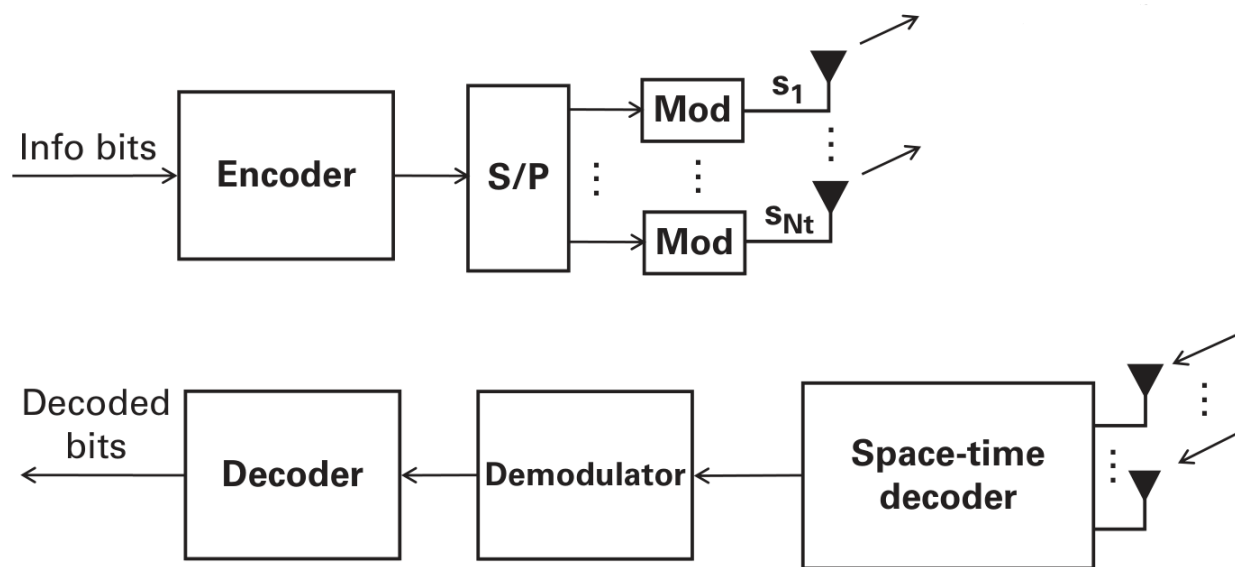
Nella modulazione OTFS, i simboli di informazione sono posizionati nel frame nel dominio delay-Doppler.

OTFS: Modulazione e demodulazione

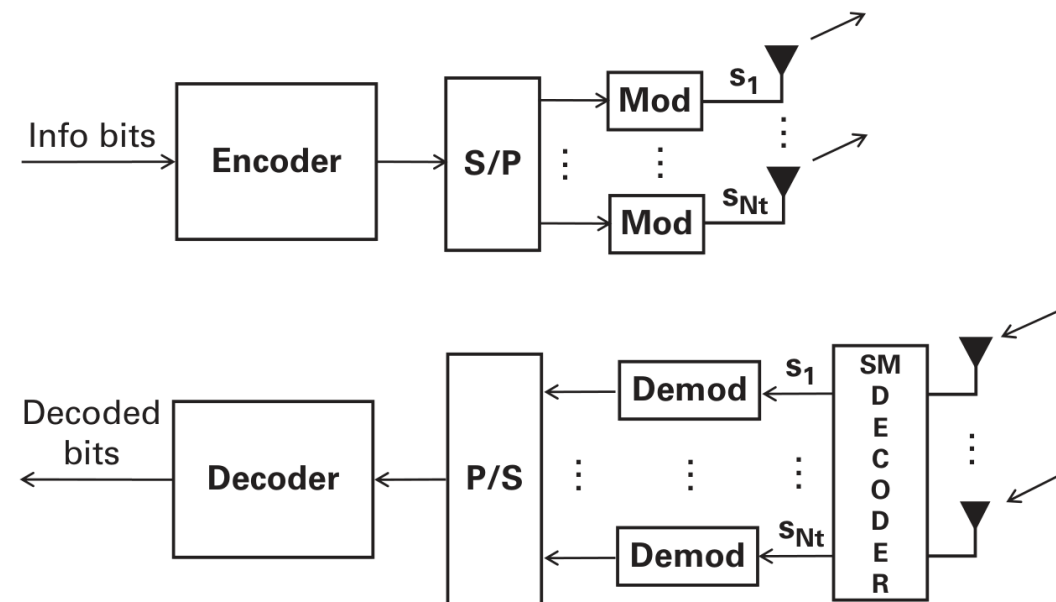


Per MIMO ci si riferisce all'insieme delle tecniche di signal processing che sono state sviluppate per migliorare le performance dei sistemi di comunicazione wireless, usando molteplici antenne sia in trasmissione che in ricezione.

MIMO → {
 ▪ Spatial Diversity
 ▪ Spatial Multiplexing

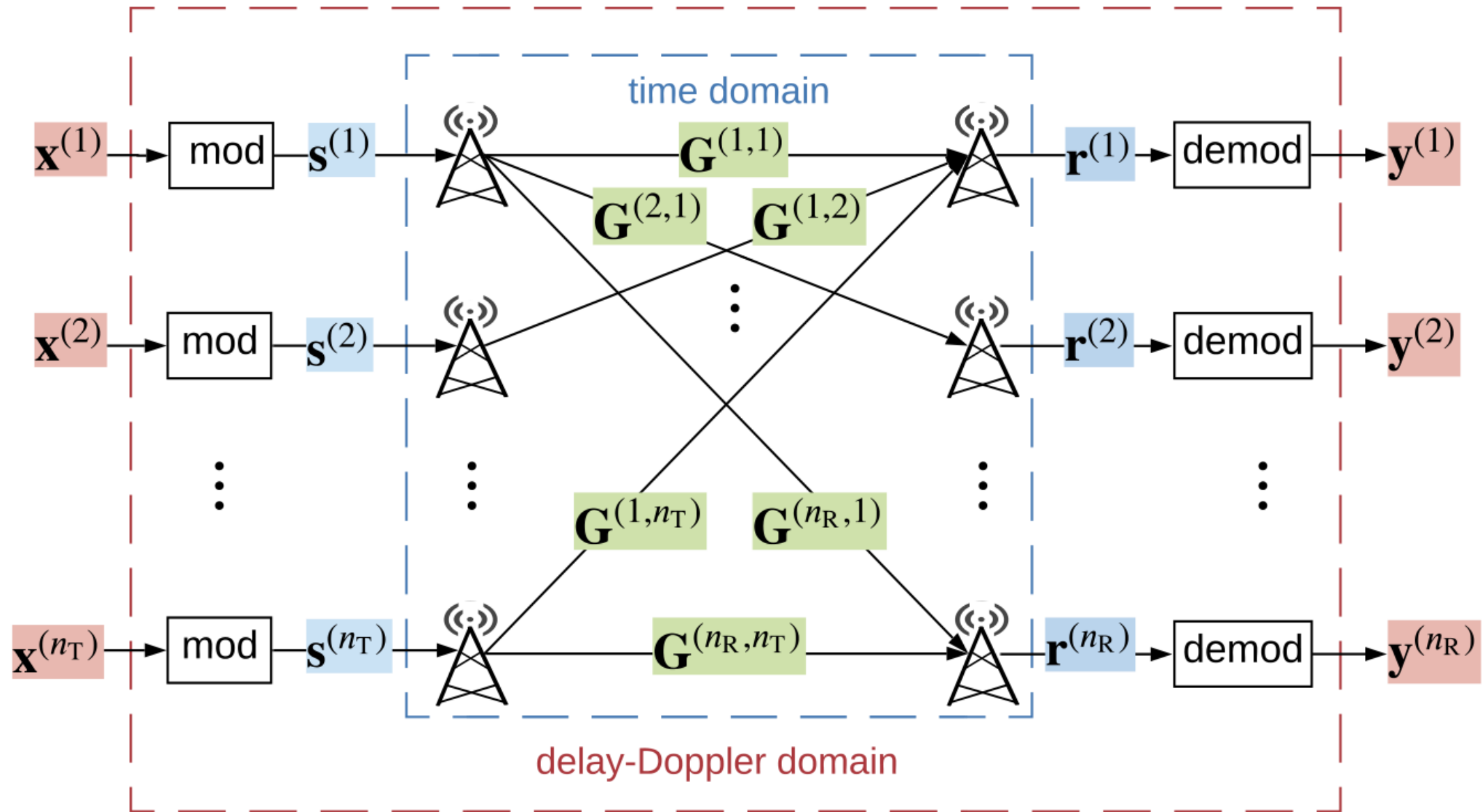


A MIMO system for *spatial diversity*.



A MIMO system for *spatial multiplexing*.

MIMO-OTFS: Sistema di comunicazione



MIMO-OTFS: Relazioni Input-Output

$$\bar{g}^{(r,t)}[l, q] = \sum_{i=1}^{p(r,t)} g_i^{(r,t)} z^{(q-l)\kappa_i^{(r,t)}} \delta[l - l_i^{(r,t)}] \longrightarrow \mathbf{G}^{(r,t)}[m + nM, m + nM - l] = \bar{g}^{(r,t)}[l, m + n(M + L_{\text{ZP}})], \quad m \geq l,$$

$$\underbrace{\begin{bmatrix} \mathbf{r}^{(1)} \\ \mathbf{r}^{(2)} \\ \vdots \\ \mathbf{r}^{(n_R)} \end{bmatrix}}_{\mathbf{r}_{\text{MIMO}}} = \underbrace{\begin{bmatrix} \mathbf{G}^{(1,1)} & \mathbf{G}^{(1,2)} & \dots & \mathbf{G}^{(1,n_T)} \\ \mathbf{G}^{(2,1)} & \mathbf{G}^{(2,2)} & \dots & \mathbf{G}^{(2,n_T)} \\ \vdots & \ddots & \ddots & \vdots \\ \mathbf{G}^{(n_R,1)} & \mathbf{G}^{(n_R,2)} & \dots & \mathbf{G}^{(n_R,n_T)} \end{bmatrix}}_{\mathcal{G}} \underbrace{\begin{bmatrix} \mathbf{s}^{(1)} \\ \mathbf{s}^{(2)} \\ \vdots \\ \mathbf{s}^{(n_T)} \end{bmatrix}}_{\mathbf{s}_{\text{MIMO}}} + \underbrace{\begin{bmatrix} \mathbf{w}^{(1)} \\ \mathbf{w}^{(2)} \\ \vdots \\ \mathbf{w}^{(n_R)} \end{bmatrix}}_{\mathbf{w}_{\text{MIMO}}}$$

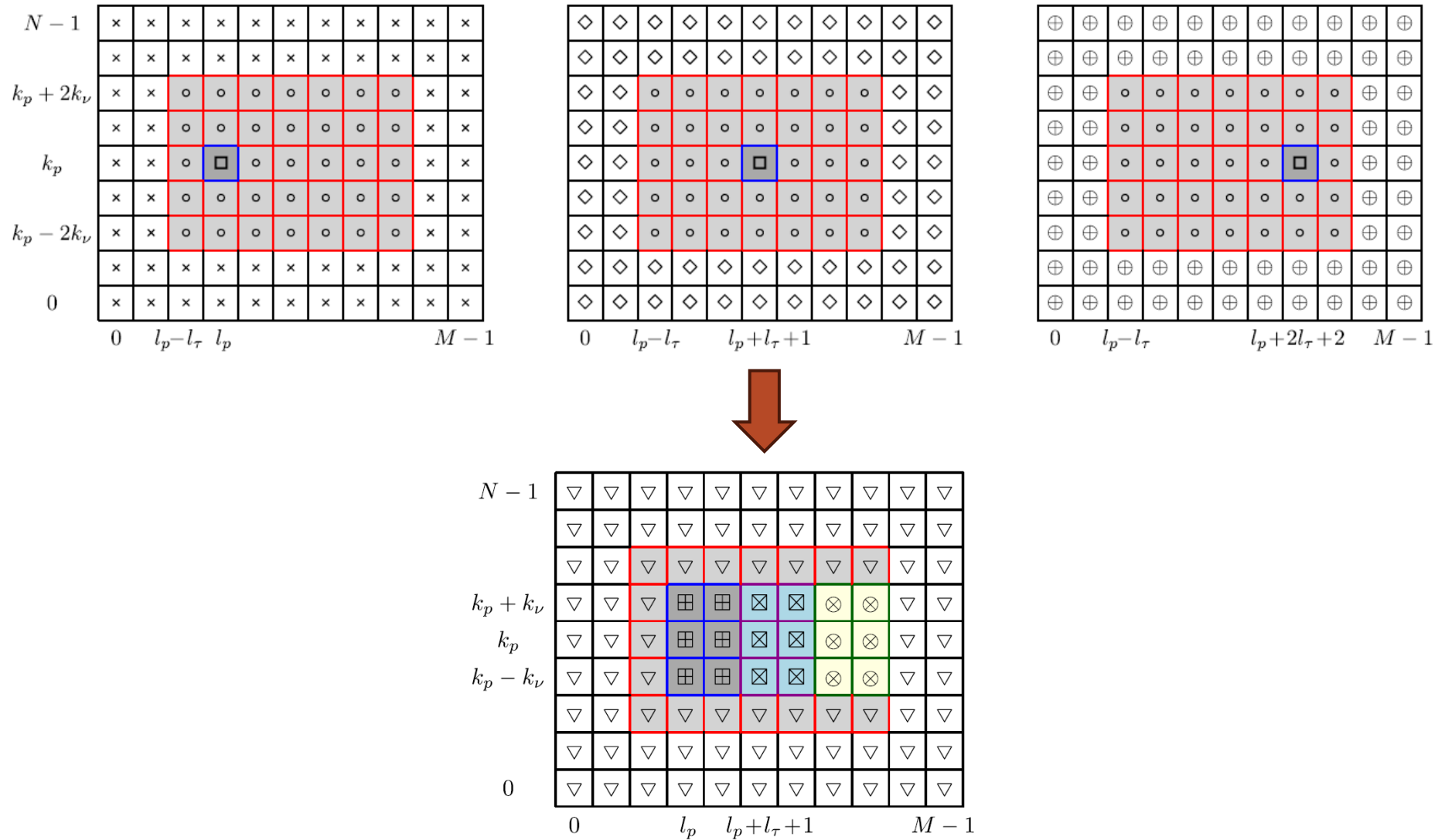
[2] Yi Hong, Tharaj Thaj, Emanuele Viterbo, Delay-Doppler Communications: Principles and Applications, 2022

MIMO-OTFS: Relazioni Input-Output

$$\begin{aligned} \mathbf{x}^{(t)} &= \text{vec} \left((\mathbf{X}^{(t)})^T \right) \\ \mathbf{y}^{(r)} &= \text{vec} \left((\mathbf{Y}^{(r)})^T \right) \end{aligned} \quad \rightarrow \quad \begin{aligned} \mathbf{H}^{(r,t)} &= (\mathbf{I}_M \otimes \mathbf{F}_N) \cdot (\mathbf{P}^T \cdot \mathbf{G}^{(r,t)} \cdot \mathbf{P}) \cdot (\mathbf{I}_M \otimes \mathbf{F}_N^\dagger) \in \mathbb{C}^{NM \times NM} \\ \mathbf{z}^{(r)} &= (\mathbf{I}_M \otimes \mathbf{F}_N) \cdot (\mathbf{P}^T \cdot \mathbf{w}^{(r)}) \in \mathbb{C}^{NM \times 1} \end{aligned}$$

$$\underbrace{\begin{bmatrix} \mathbf{y}^{(1)} \\ \mathbf{y}^{(2)} \\ \vdots \\ \mathbf{y}^{(n_R)} \end{bmatrix}}_{\mathbf{y}_{\text{MIMO}}} = \underbrace{\begin{bmatrix} \mathbf{H}^{(1,1)} & \mathbf{H}^{(1,2)} & \dots & \mathbf{H}^{(1,n_T)} \\ \mathbf{H}^{(2,1)} & \mathbf{H}^{(2,2)} & \dots & \mathbf{H}^{(2,n_T)} \\ \vdots & \ddots & \ddots & \vdots \\ \mathbf{H}^{(n_R,1)} & \mathbf{H}^{(n_R,2)} & \dots & \mathbf{H}^{(n_R,n_T)} \end{bmatrix}}_{\mathcal{H}} \underbrace{\begin{bmatrix} \mathbf{x}^{(1)} \\ \mathbf{x}^{(2)} \\ \vdots \\ \mathbf{x}^{(n_T)} \end{bmatrix}}_{\mathbf{x}_{\text{MIMO}}} + \underbrace{\begin{bmatrix} \mathbf{z}^{(1)} \\ \mathbf{z}^{(2)} \\ \vdots \\ \mathbf{z}^{(n_R)} \end{bmatrix}}_{\mathbf{z}_{\text{MIMO}}}$$

MIMO-OTFS: Pilot Placement

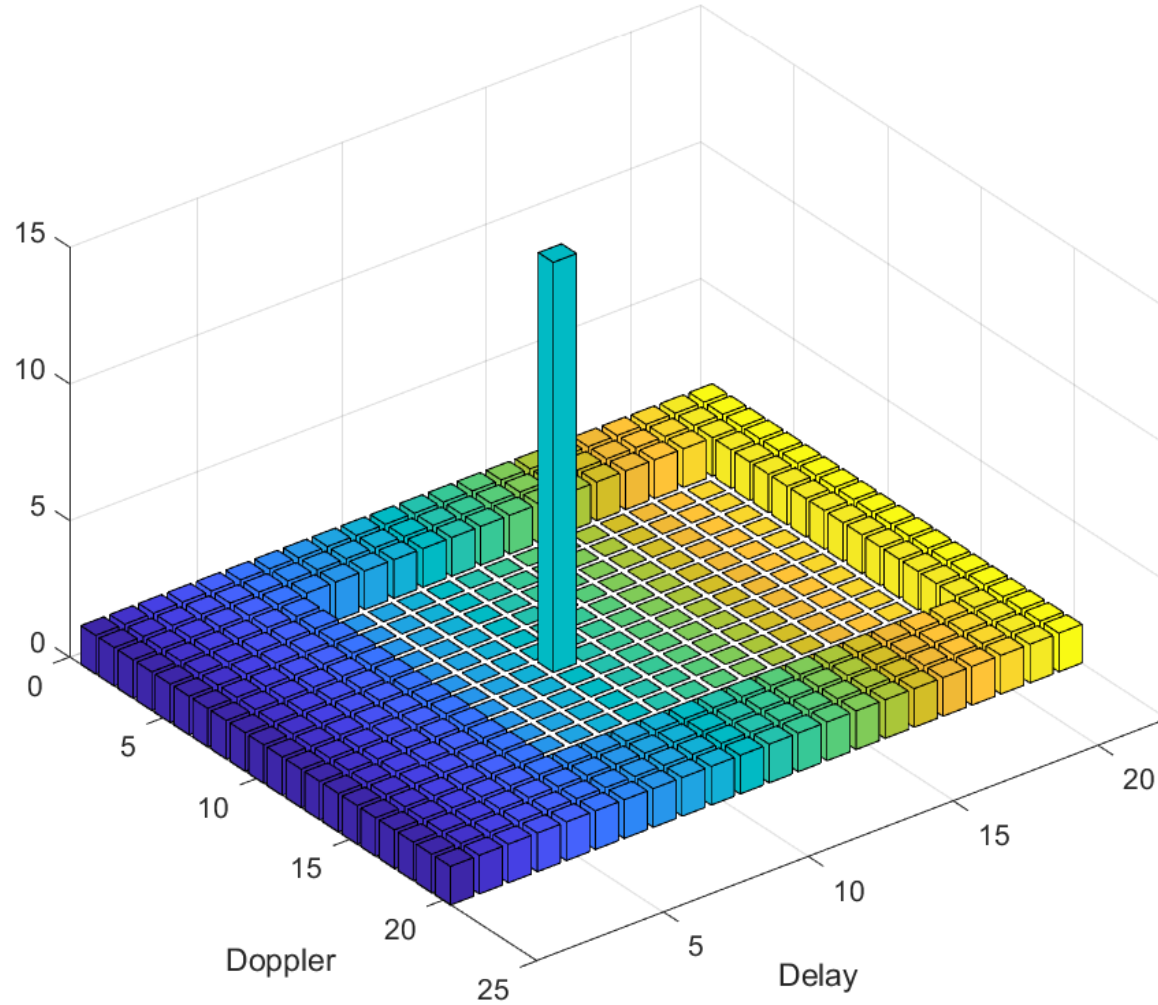


[3] P. Raviteja, Khoa T. Phan, Yi Hong, Embedded Pilot-Aided Channel Estimation For OTFS in Delay-Doppler Channel, 2019

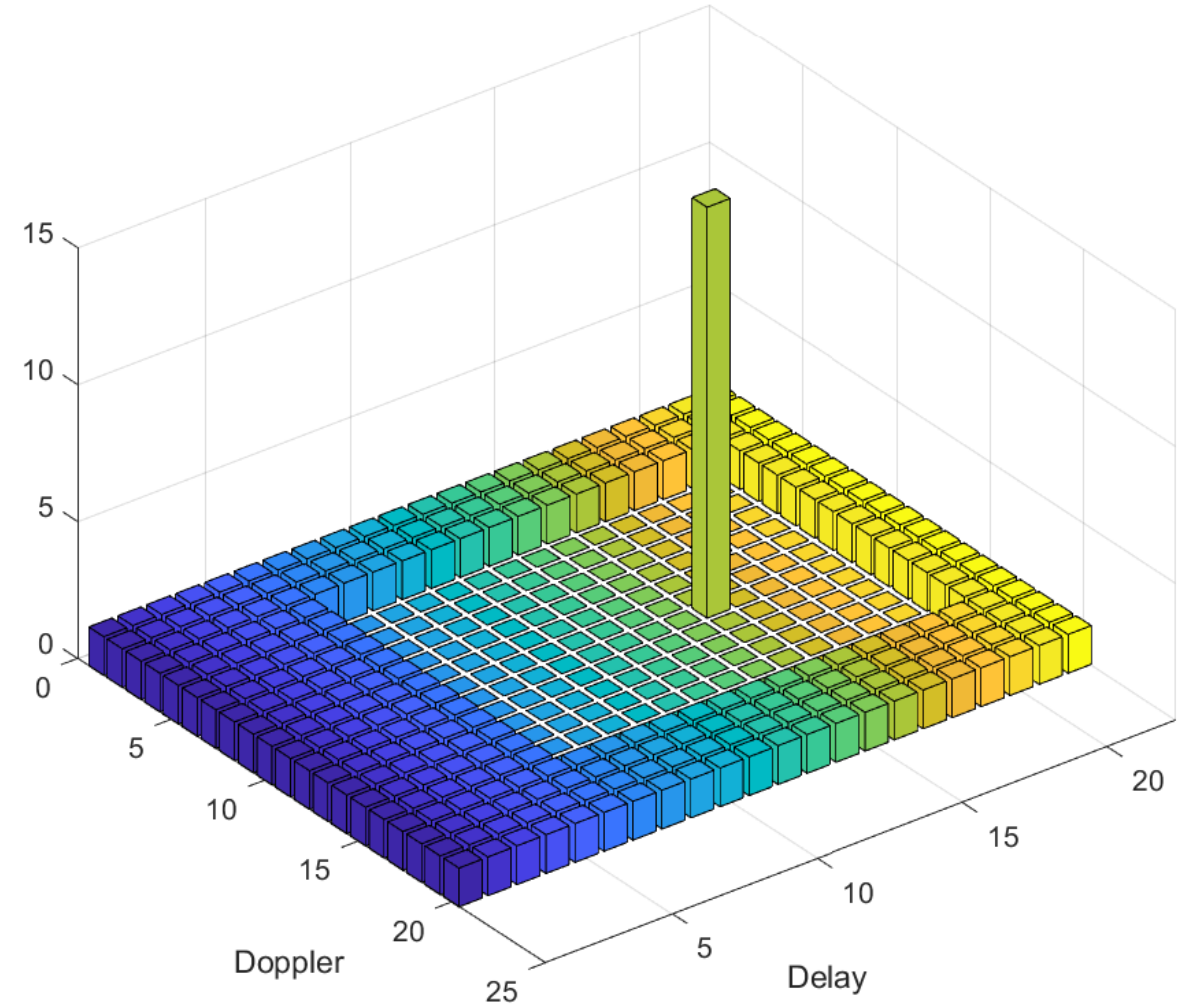
[4] M. Kollengode Ramachandran, A. Chockalingam, MIMO-OTFS in High-Doppler Fading Channels: Signal Detection and Channel Estimation, 2018

MIMO-OTFS: Risultati Tx Frame – 2x1

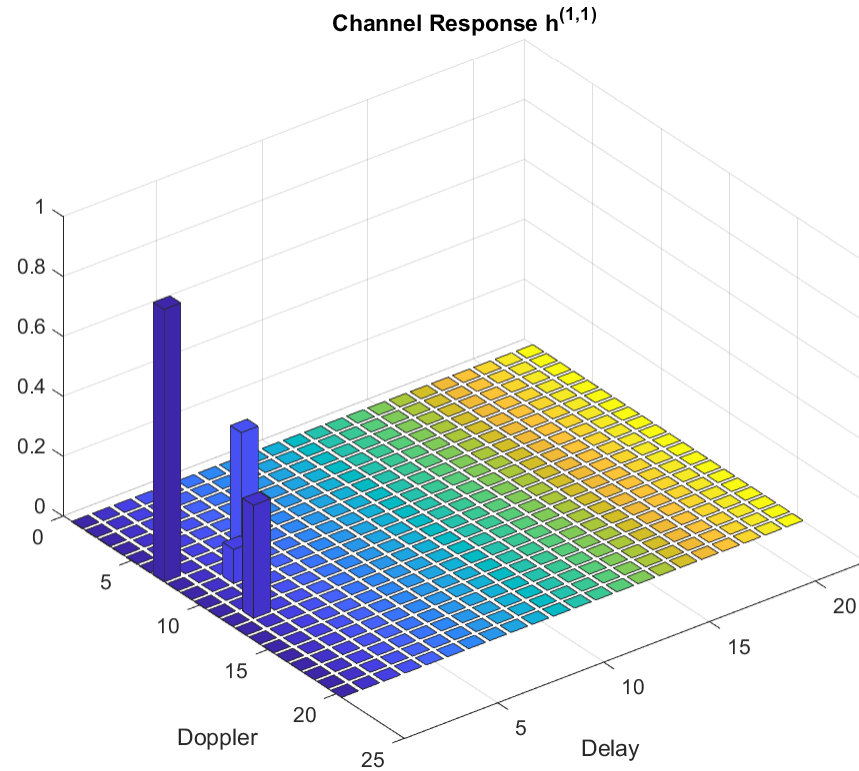
Input Frame TX1



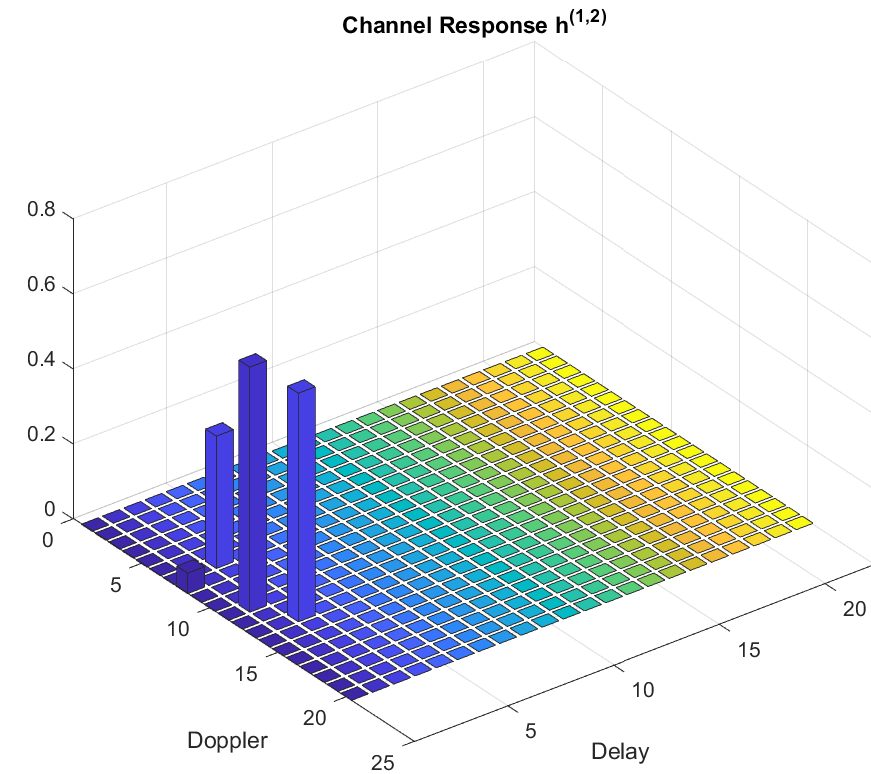
Input Frame TX2



MIMO-OTFS: Channel Response – 2x1

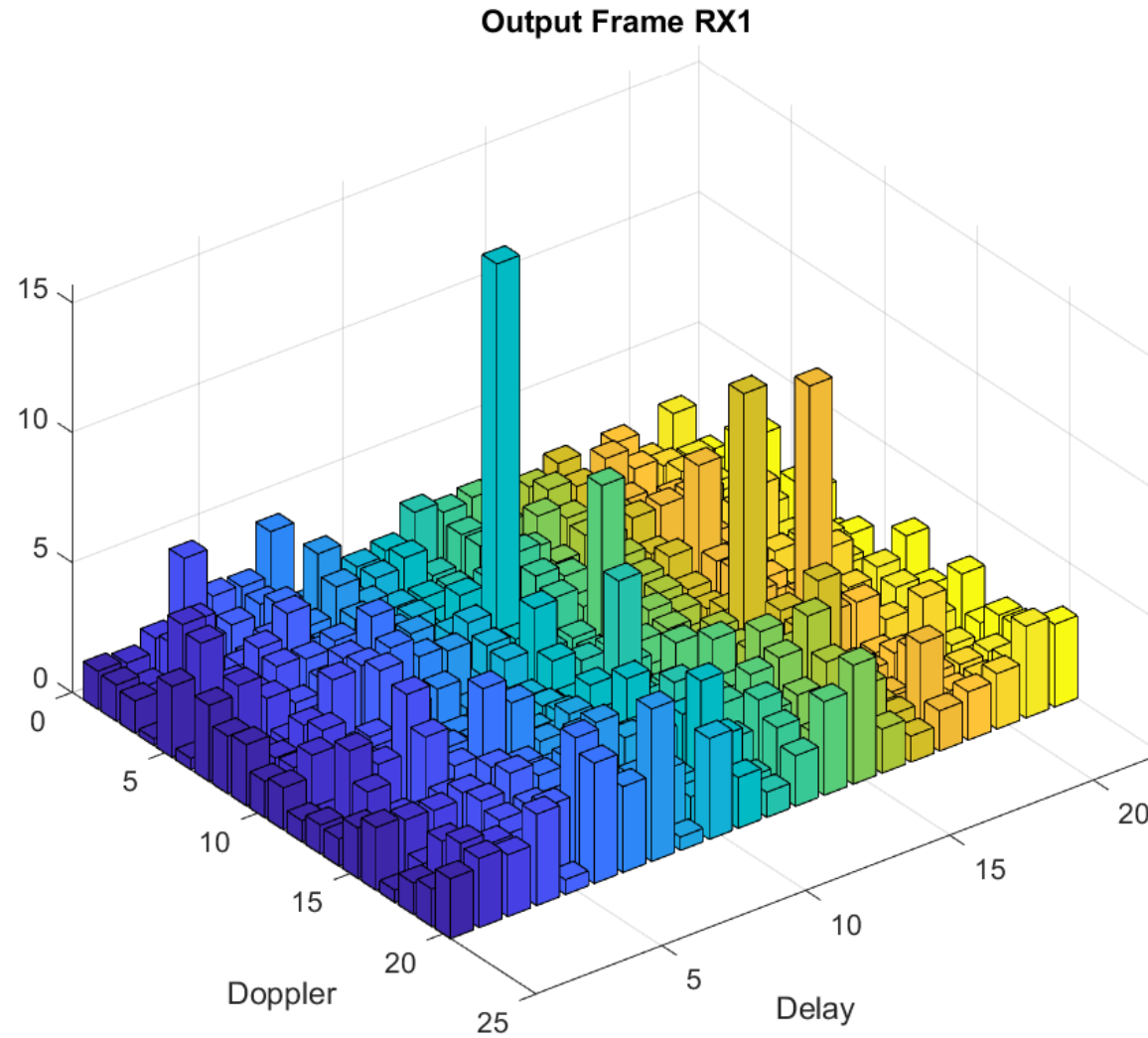


Path (1,1)	g	l	k
1	0.4466	3	-2
2	0.1136	2	1
3	0.3769	1	2
4	0.9091	0	-3

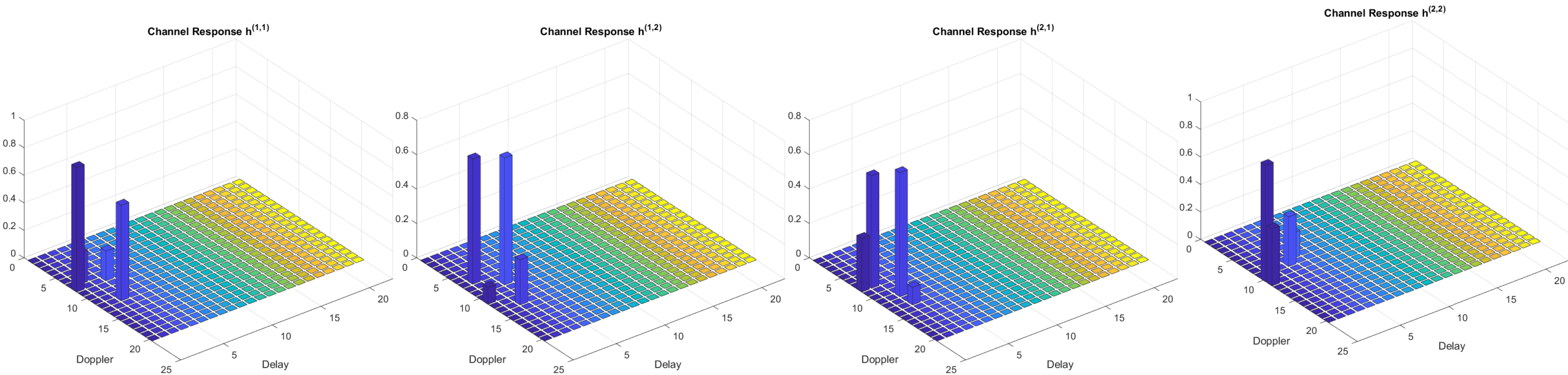


Path (1,2)	g	l	k
1	0.6095	2	3
2	0.0545	0	-2
3	0.6533	1	1
4	0.3528	2	-3

MIMO-OTFS: Risultati Rx Frame – 2x1

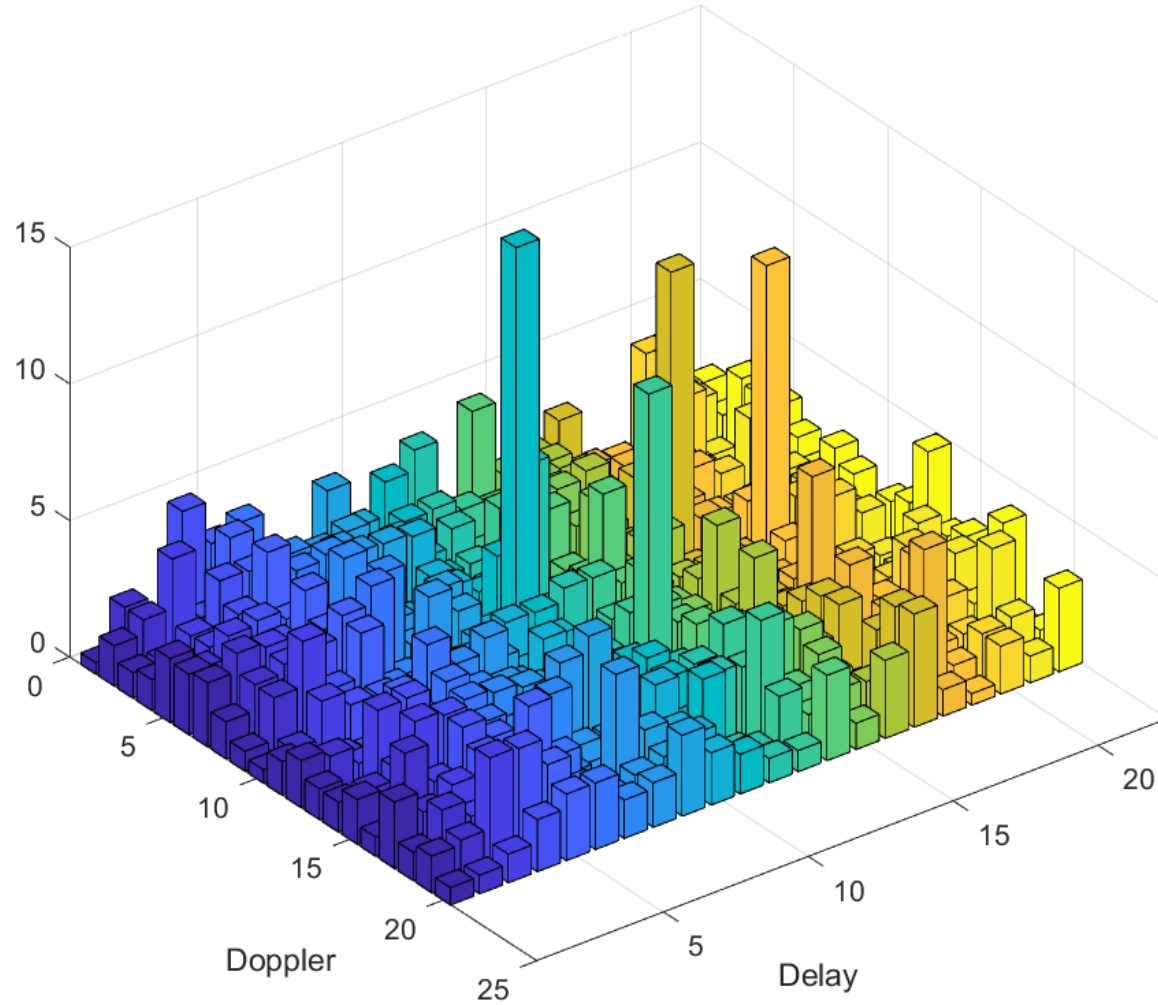


MIMO-OTFS: Channel Response – 2x2

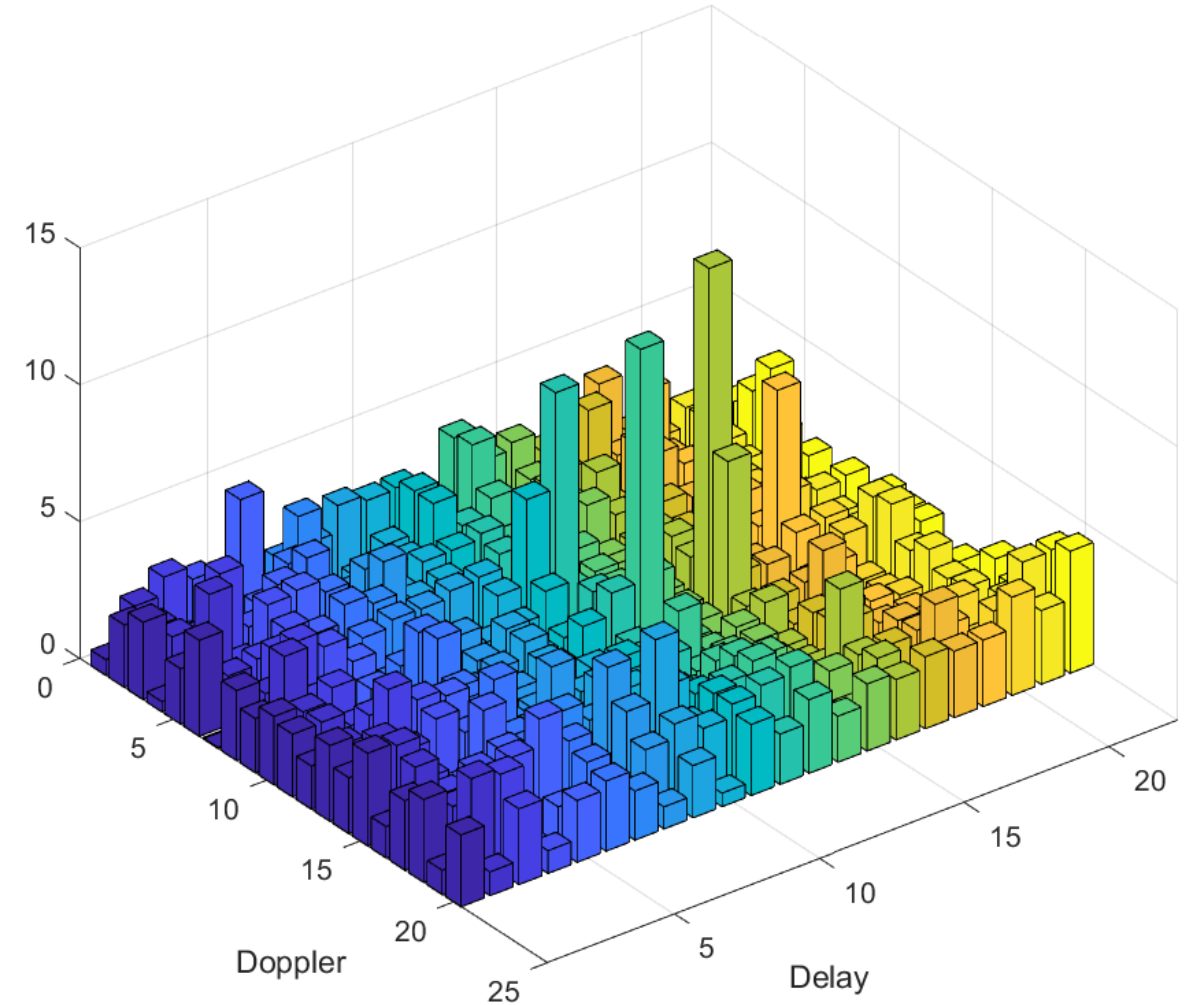


MIMO-OTFS: Risultati Rx Frame – 2x2

Output Frame RX1

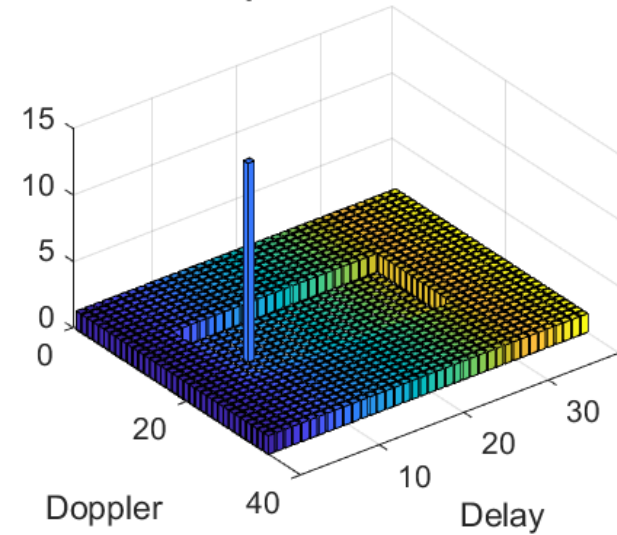


Output Frame RX2

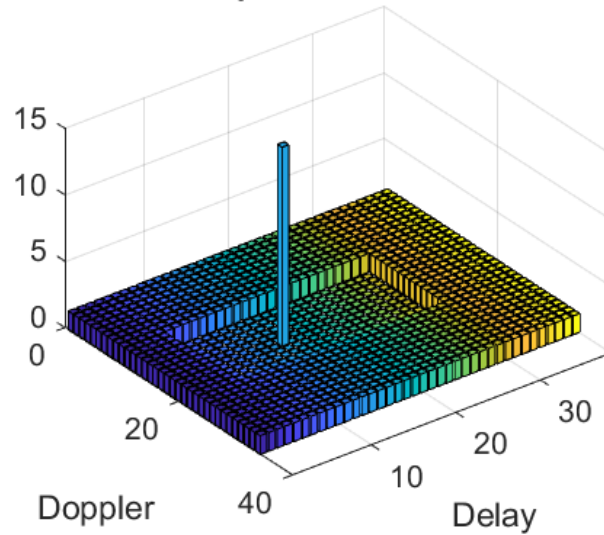


MIMO-OTFS: Risultati Tx Frame – 4x4

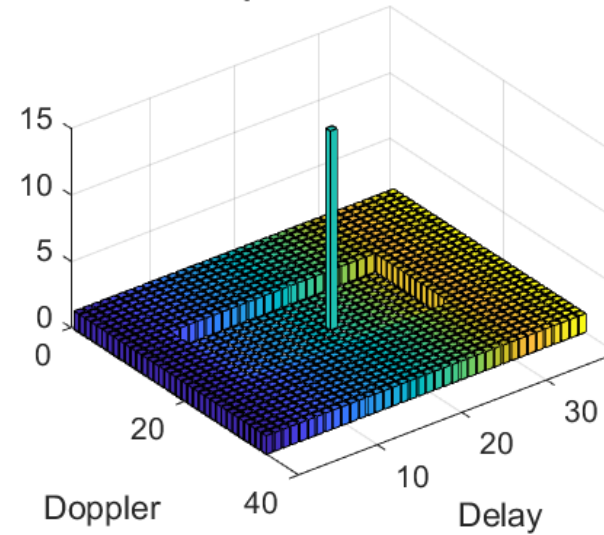
Input Frame TX1



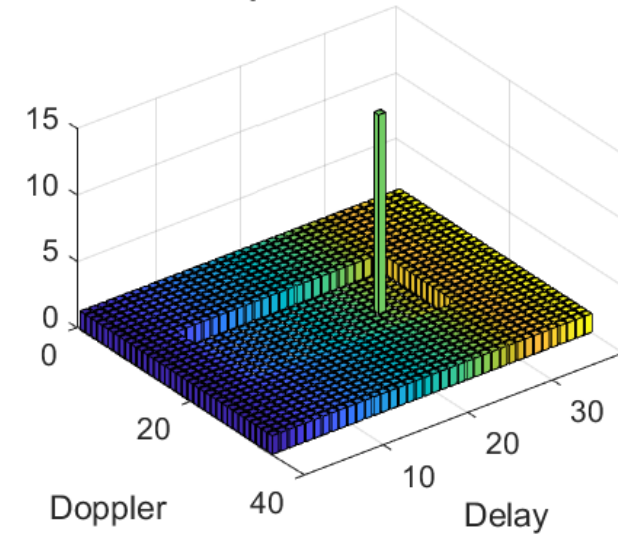
Input Frame TX2



Input Frame TX3

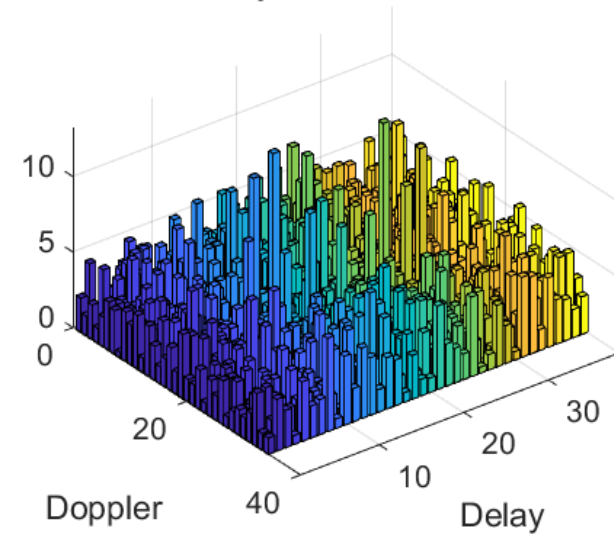


Input Frame TX4

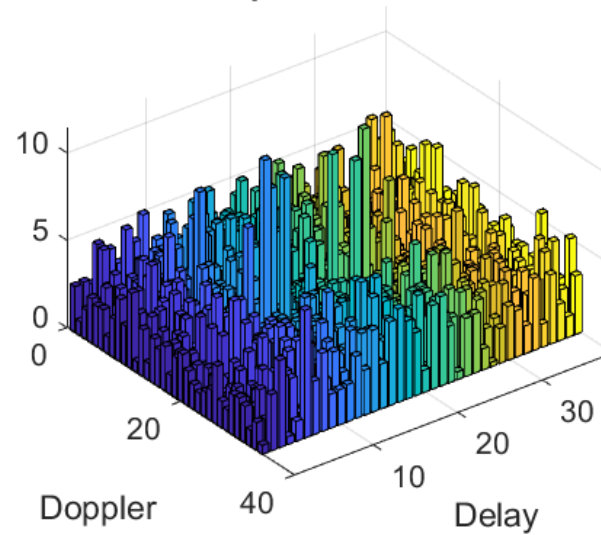


MIMO-OTFS: Risultati Rx Frame – 4x4

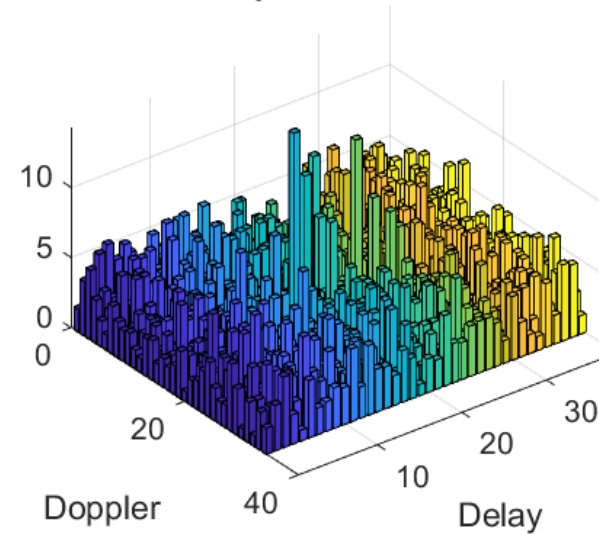
Output Frame RX1



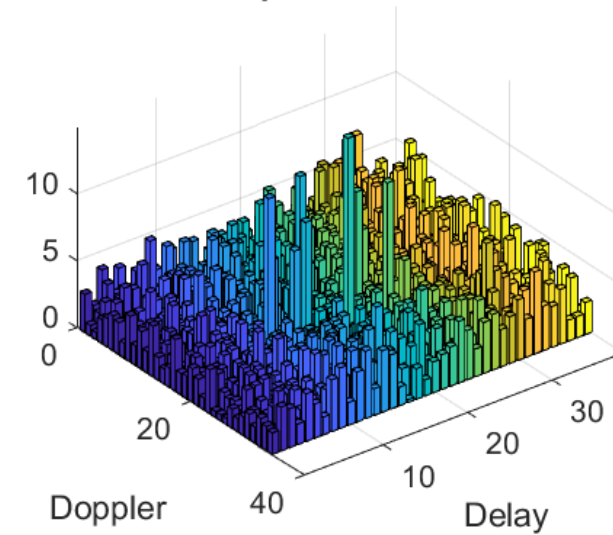
Output Frame RX2



Output Frame RX3



Output Frame RX4



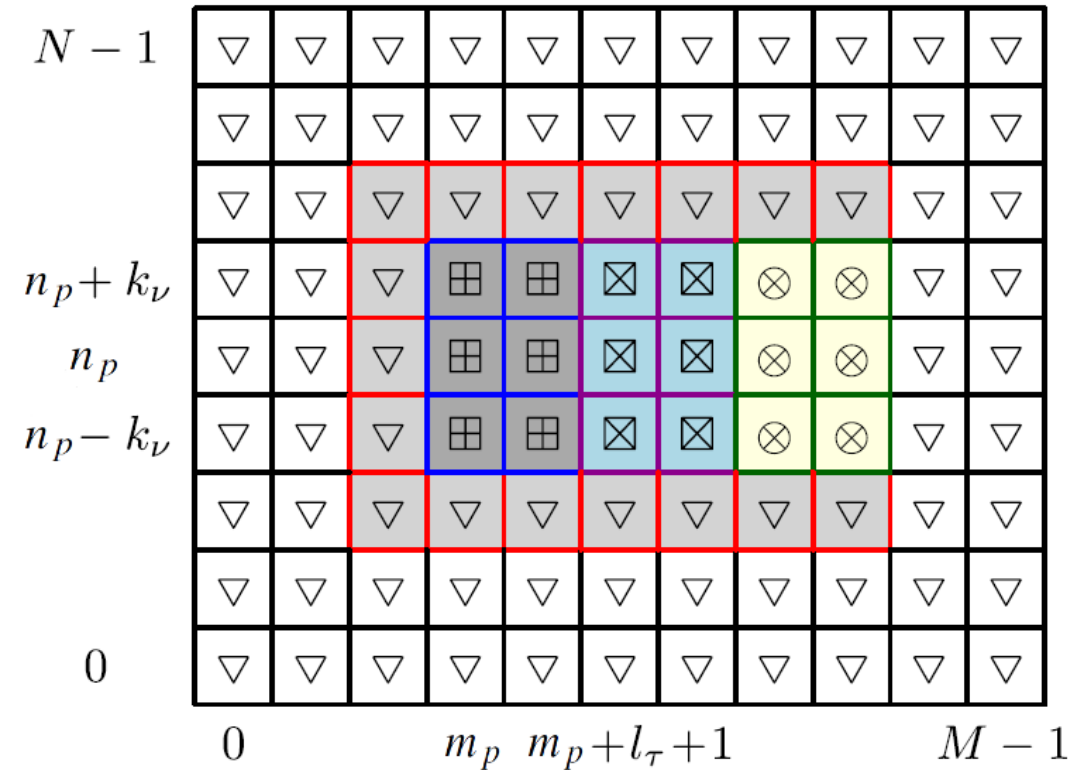
Channel Estimation - Algorithm

$$b[l, k] = \begin{cases} 1, & |\mathbf{Y}[m_p + l, n_p + k]| \geq \mathcal{T} \\ 0, & \text{otherwise} \end{cases}$$

$$z = \frac{2 \cdot \pi \cdot j}{N \cdot M}$$

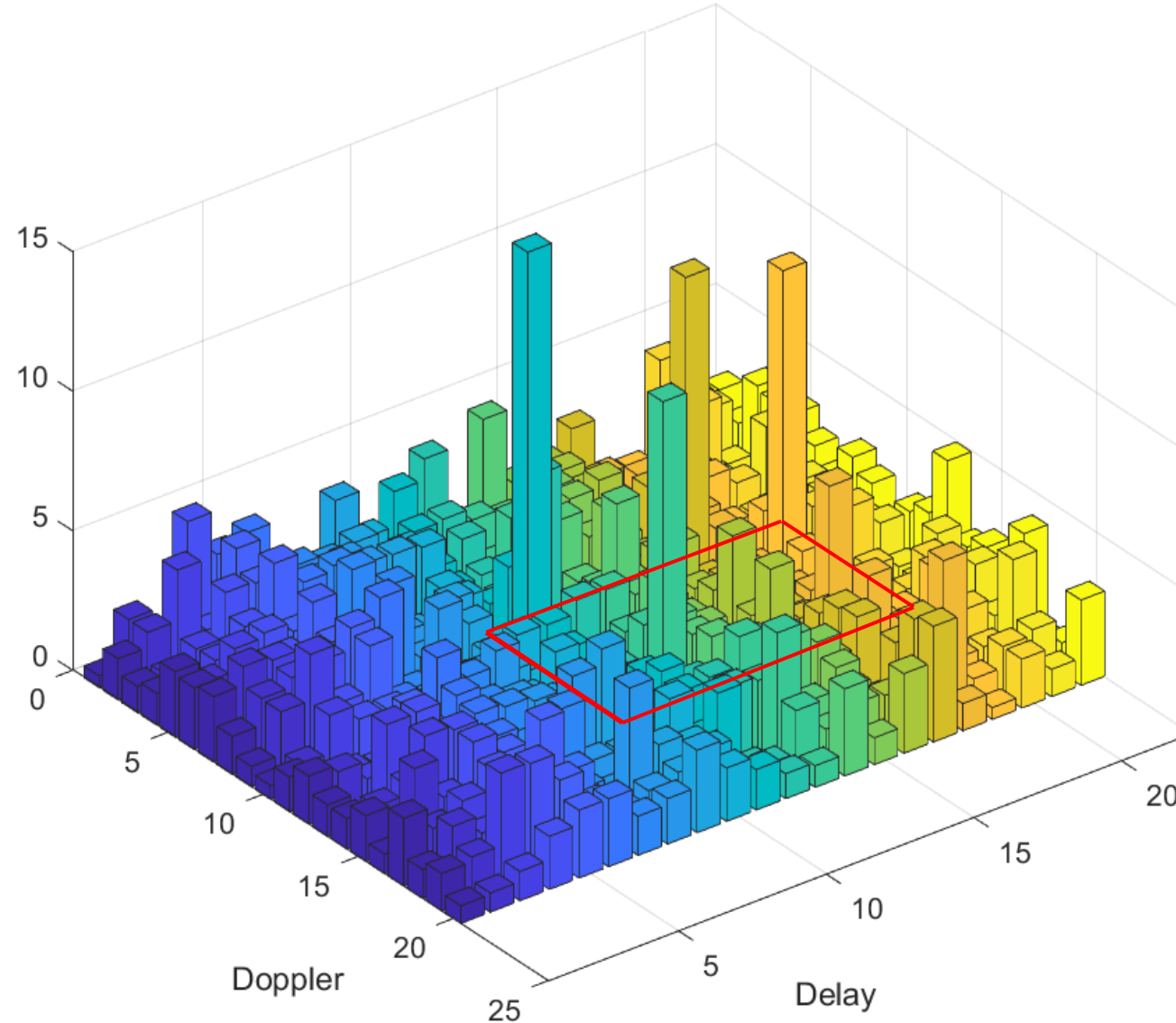


$$\hat{g}[l, k] = \frac{\mathbf{Y}[m_p + l, n_p + k]}{x_p z^{k m_p}}$$

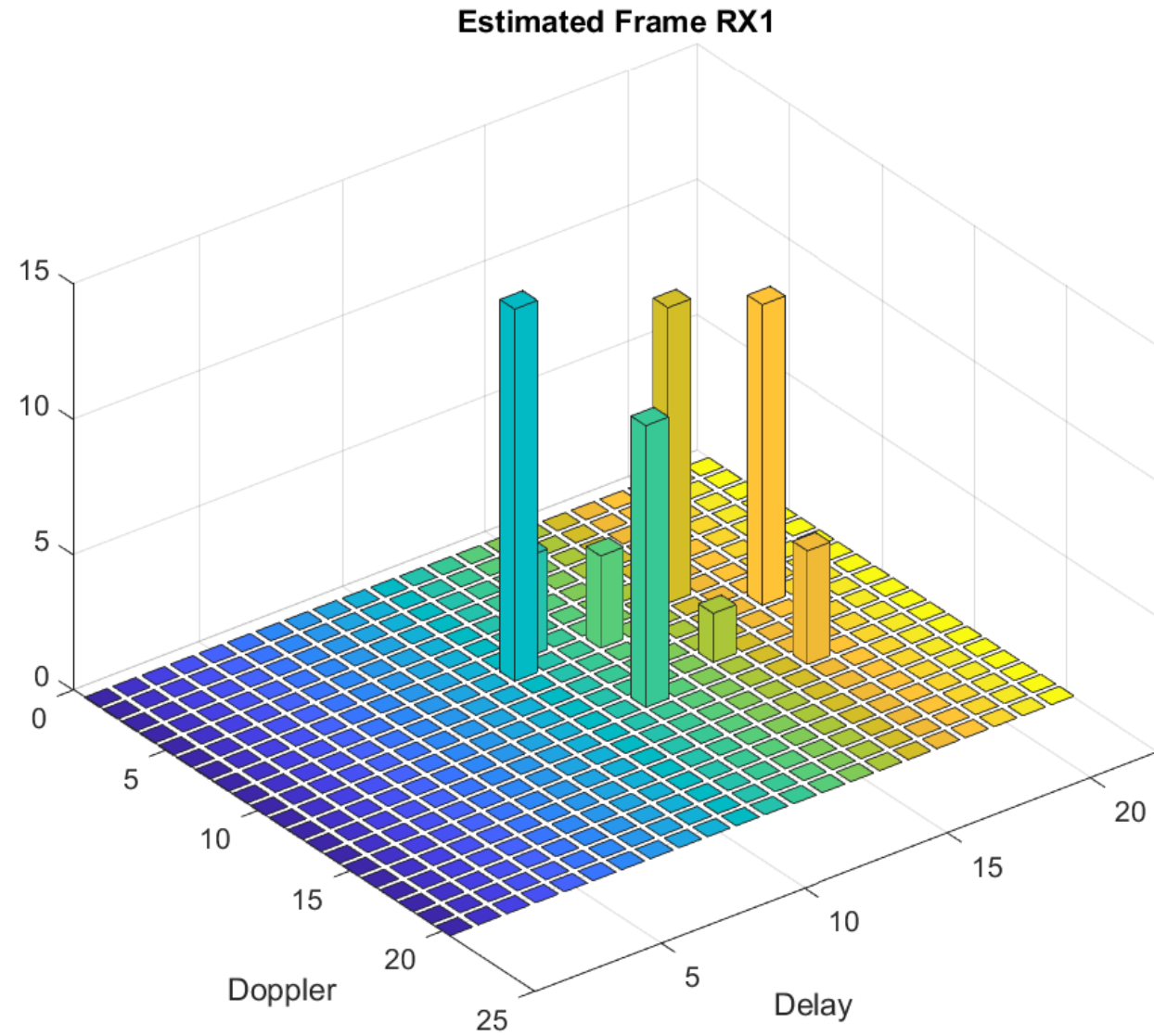
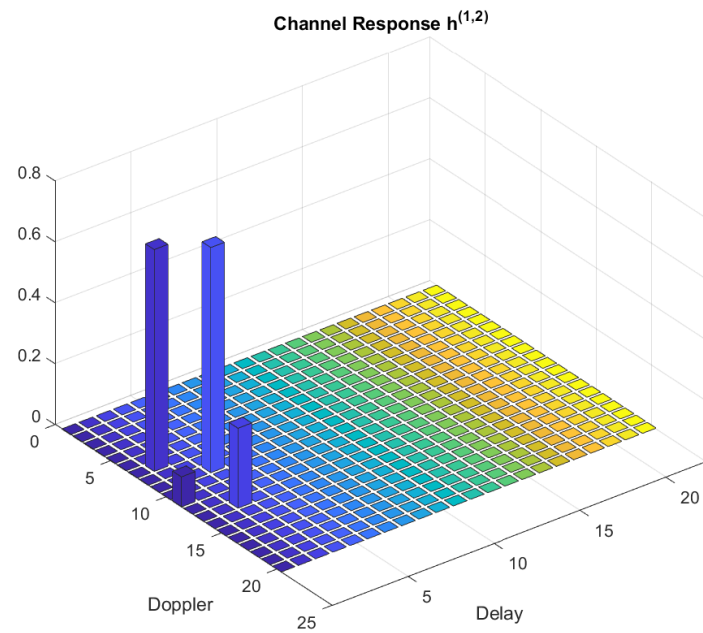
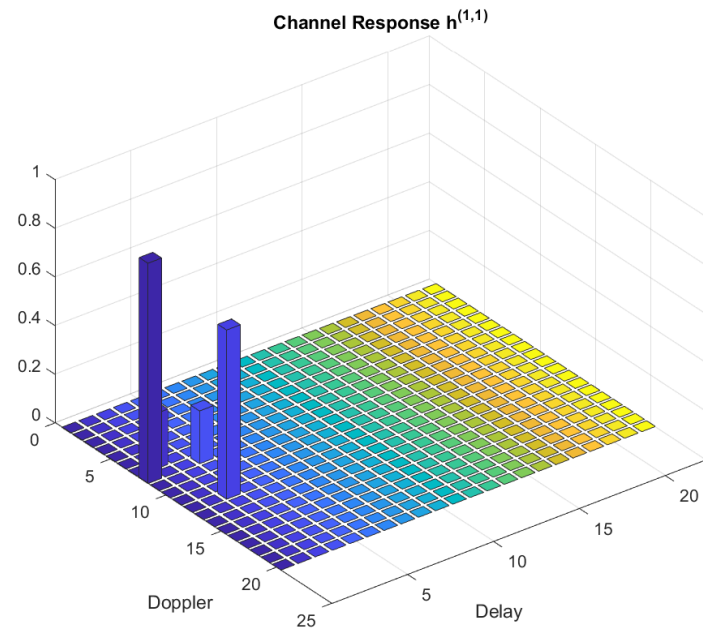


Channel Estimation - Output Frame Rx1

Output Frame RX1

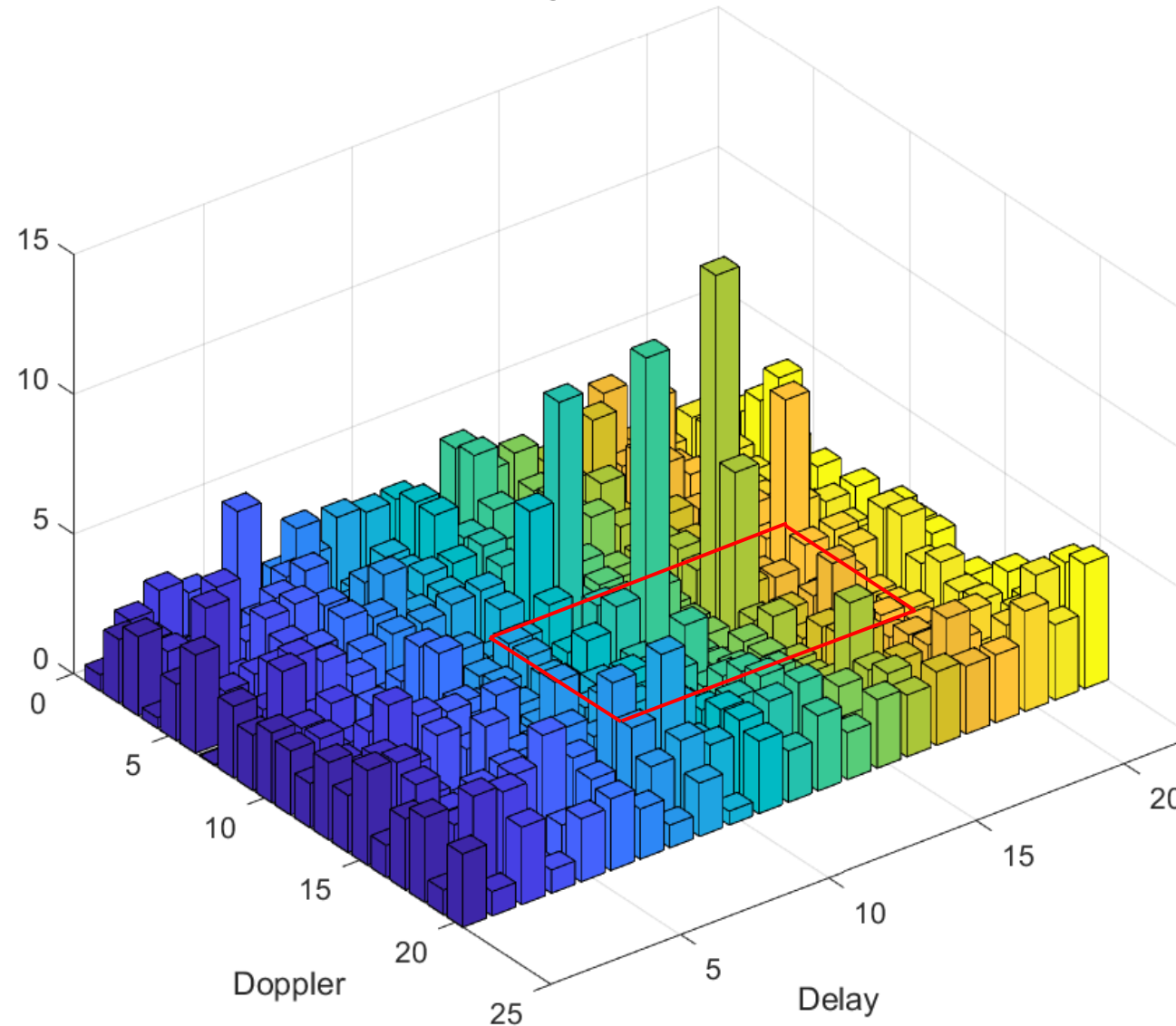


Channel Estimation - Output Frame Rx1

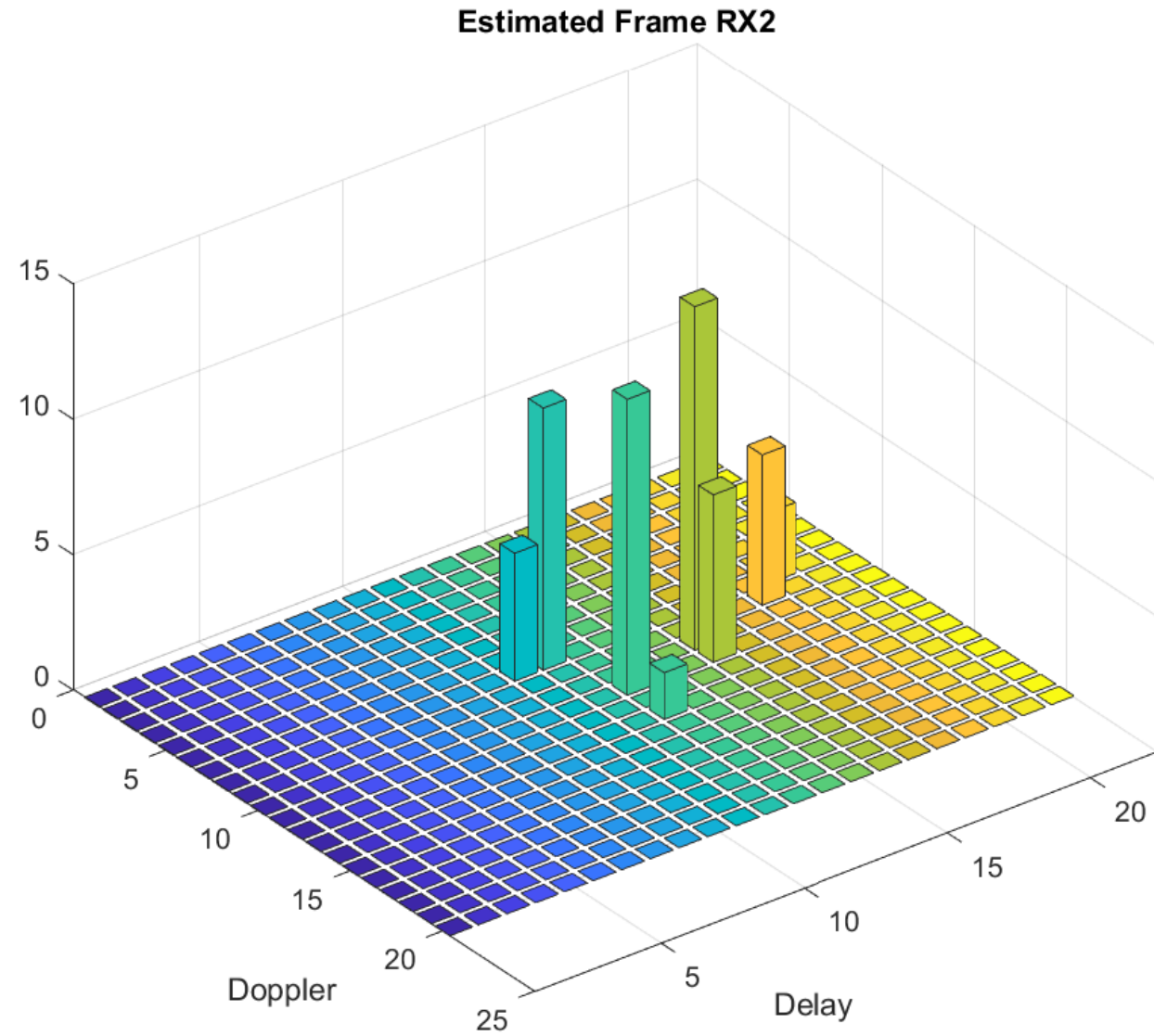
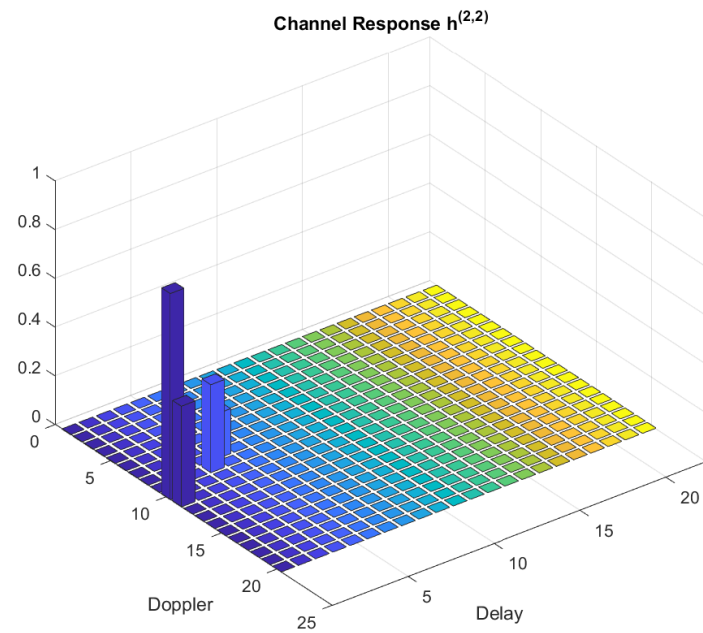
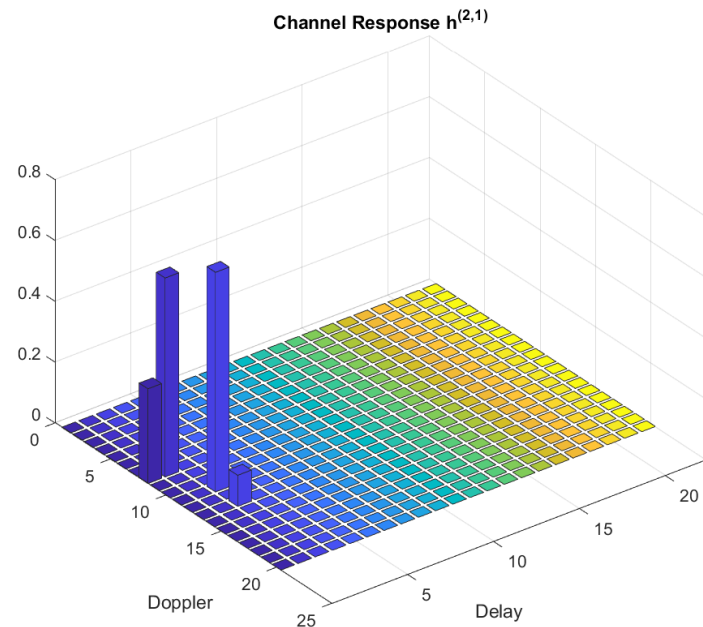


Channel Estimation - Output Frame Rx2

Output Frame RX2



Channel Estimation - Output Frame Rx2



Conclusioni

- Implementazione MIMO-OTFS NtxNr tramite Matlab
- Analisi risultati di trasmissione
- Implementazione Channel Estimation
- Analisi Channel Estimation

Sviluppi Futuri

- Detection Algorithm
- Fractional Delay-Doppler
- Massive MIMO Multiuser
- Machine Learning (CNN)